



Classe di Lettere e Filosofia

Corso di perfezionamento in  
**Scienze dell'Antichità**

XXXIII ciclo

***Il santuario di Apollo Pythios ad Atene***

***Formazione, sviluppo e paesaggi di un luogo di culto ai  
confini sud-orientali della Polis***

**Tavole**

Settore Scientifico Disciplinare L-ANT/07

Candidato

dr. Giuseppe Rignanese

Relatore

Prof. Gianfranco Adornato

Anno accademico 2022/2023

*Figura 1 - Traduzione del passo II 15, 3-4 delle Storie di Tucidide da parte di L. Valla*

*Figura 2- La città di Athenae vel Minerva nella raffigurazione del Liber Chronicarum di H. SCHEDEL 1493 (da LABORDE 1854, I, 40)*

*Figura 3 - La città di Athenae/Satines raffigurata nella  
Cosmographia Universalis di S. Münster del 1541 (da  
KOUTSOGIANNIS 2015-2016, fig. 19).*

*Figura 4 - Mappa della città di Atene illustrata da A. G. Guillet 1675. In evidenza il settore attorno al cd. Olympieion*

*Figura 5 - Mappa della città di Atene Illustrata da J. Spon 1678. In evidenza il settore attorno al cd. Olympieion*

*Figura 6 - Mappa della città di Atene di F. Fanelli 1687. In evidenza l'ubicazione della cd. Biblioteca di Adriano/Olympieion*

*Figura 7 - Mappa delle Antichità di Atene individuate da J. Stuart e N.Revett 1794*

*Figura 8 - Mappa della città di Atene di R. Chandler edita nel 1817*

*Figura 9 - Mappa di Atene di R. Walpole 1818*

*Figura 10 – Mappa della città di Atene di W. Leake 1821. In evidenza la presunta ubicazione del Pythion secondo lo studioso*

*Figura 11 - Mappa di Atene di W. Leake 1841. In evidenza l'ipotesi di Leake sull'ubicazione dei santuari descritti da Pausania*

*Figura 12 - Mappa della città di Atene edita da P.W. Forchhammer 1841. In evidenza la localizzazione dei santuari descritti da Pausania*

*Figura 13 – Pianta del settore a sud dell'Olympieion (da Curtius-Kaupert 1878, tav. X.3)*

*Figura 14 – Ricostruzione topografica del settore (da CURTIUS 1877)*

*Figura 15 – L'area di scavo nei pressi della cd. Kallirrhoe (da SKIAS 1893a, tav. A')*



*Figura 16 – Mappa del settore alle pendici NW dell'Acropoli secondo O. Broneer. B: Santuario di Apollo Hypoakraios; Γ: eschara e santuario di Zeus Olimpio; Δ: grotta di Pan (da BRONEER 1960, fig. 1).*

*Figura 17 – Mappa della città di Atene. Evidenziato il settore indicato da W. Judeich come sede del Python (da JUDEICH 1931).*

*Figure 18 – Pianta del settore a sud dell'Olympieion. In rosso l'area di scavo di M. Mitsos. A: cd. large building; B: cd. gate-shaped building; C: area delle officine bronzistiche (Riel. da TRAVLOS 1971, fig. 380)*

*Figura 19 – Area di scavo del settore a N dell'Olympieion (da DAUX 1960, fig. 1)*

*Figura 20 – Area della terrazza meridionale dell'Olympieion. A: cd. Delphinion; B: strutture geometriche; C: Porta X cd. Porta di Egeo; D: cd. Tempio di Kronos e Rhea; E: cd. Panhellenion (da TRAVLOS 1971, fig. 380).*

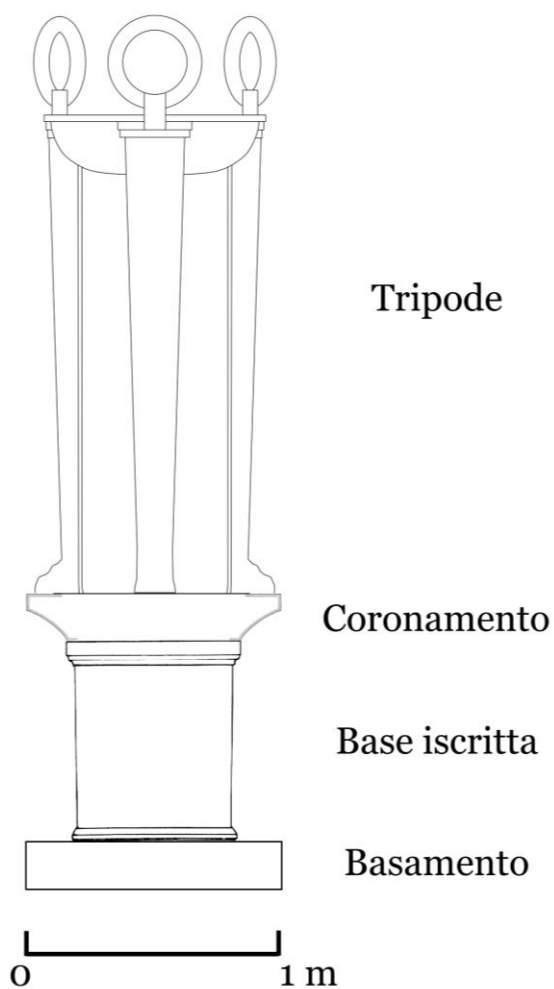
*Figura 21 – L'ubicazione del Pythion secondo I. Travlos. G: le basi dei tripodi reimpiegati nell'edificio ellenistico; B: le basi rinvenute da S. Koumanoudis; A: l'altare di Pisistrato il Giovane (da TRAVLOS 1971, fig. 130).*

*Figura 22 – Pianta aggiornata del sito nel settore meridionale dell'Olympieion (da ArchDelt 56-59, 2001-2004, B', fig. 75 [KYRIAKOU])*

*Figura 23 – Gli scavi compiuti tra il 2001 e il 2006. A: luogo di rinvenimento dei tripodi di S. Koumanoudis secondo A. Matthaiou; B: scavi di od. Iosiph ton Rogon; C: scavo di od. Lempesi.*



*Figura 25 – Skyphos con scena di danza (735-720). Luogo di Provenienza Kerameikos (EAM 847, da TARN STEINER 2021, figg. 2.6-2.7)*



*Figura 26 – Disegno esemplificativo di una dedica coregica a base circolare.*

*Figura 27 - Kitharöden-Relief tipo II conservato presso l'Antikensammlung di Berlino (inv. nr. SK 921).*

*Figura 28 – Evidenziato il percorso della Pitaide secondo L. Ficuciello 2008 (da GRECO et alii 2015, tav. M7).*

Figura 29 – Pianta del tempio di Apollo *Patroos* nell'Agora. Evidenziata la struttura arcaica al di sotto del tempio ionico (da HEDRICK 1988, fig. 3)



*Figura 30 – Ricostruzione del Kouros arcaico dalle matrici rinvenute nei pressi dell'edificio arcaico absidato (da HEDRICK 1988, fig. 5)*

*Figura 31 – La statua di Apollo Patroos di Eufranore.*

*Figura 32 – Pianta schematica dei santuari alle pendici settentrionali dell'Acropoli (da NULTON 2003, fig. 3)*

*Figura 33 – Il rilievo di Neottolema (da Agora XXXVIII, fig. 1, tav. 3, nr. 13).*

*Figura 34 – Proposta di attribuzione del fr. Acr. 1289 alla nicchia alle pendici settentrionali dell'Acropoli da parte di R. Jacob (da Jacob 2019, fig. 10).*

*Figura 35 – Rilievo figurato di II secolo d.C. reimpiegato nella chiesa di Hag. Eleutherios con scena dell'eiresione durante i Pyanepsia (da PILZ 2011, fig. 1)*

*Figura 36 – Localizzazione delle iscrizioni nel settore meridionale della Polis*

*Figura 37 – Pianta orografica del comprensorio a Sud dell'Aeropoli: 1) plateau dell'Olympieion; 2) Sperone roccioso a nord dello Stadio; 3) Ardetto; 4) altura del tempio ionico; 5-6) colline dei "mulini a vento".*

*Figura 38 – Le identificazioni proposte da I. Travlos per i monumenti nella cd. Valle dell'Ilisso (da TRAVLOS 1974, fig. 4)*

*Figura 39 – Il peristilio romano cd. Ginnasio di Cinosarge e l'evoluzione del settore funerario (VI.NEK.1)*

*Figura 40 – La distribuzione delle sepolture nel quartiere di Cinosarge*

*Figura 41 – Ubicazione dei quattro distretti della “valle dell’Ilisso”. In basso a destra la pianta dei demi urbani ed extraurbani (da TRAILL 1976, Map 3).*

*Figura 42 – L'area della terrazza meridionale dell'Olympieion con indicati gli ingressi della città, in relazione alla viabilità principale del settore nota dalle indagini archeologiche*

*Figura 43 – L'area di scavo di A. Skias presso la chiesa di Hag. Photeini (da CHIOTIS 2019, fig. 3)*

*Figura 44 – Le principali attestazioni archeologiche nell'area a sud dell'Acropoli. In blu il letto post-antico dell'Ilisso. 1: Chiesa del Beati Nikolaos de Columnis (500-550 d.C.); 2) Chiesa/martyrion edificata sul tempio cd. di Kronos e Rhea (VI sec. d.C.); 3: domus tardo romana (post II-III sec. d.C.); 4: Basilica di Ag. Leonidas (VI sec. d.C.); 5: Panaghia stin Petras (V sec. d.C.); 6: quartiere residenziale (V-VI sec. d.C.); 7: quartiere bizantino (X-XII sec. d.C.); 8: necropoli di Cinosarge (IV-VI sec. d.C.).*



*Figure 45 – Mappa di Atene redatta da P. Babin intorno al 1670 (da LABORDE 1854, tav. 78).*

*Figura 46 – Pianta della città di Atene di R. Pococke. K: cd. Palazzo di Adriano (Olympieion); e) altare delle Muse; M: ponte romano sull'Ilisso; N: stadio; d) cd. Kallirrhoe; L: cd. Eleusinion (tempio ionico) (da POCOCKE 1745, tav. 160).*

*Figura 47 – Veduta sud-orientale dell'Olympeion con ancora visibili i resti della chiesa di Ag. Ioannis. Sullo sfondo l'Acropoli e il monumento di Trasillo (da LE ROY 1758, II.1, tav. VIII).*

*Figura 48 – Veduta delle pendici meridionali dell'Acropoli dalla collina del tempio ionico. In basso a sinistra l'abitato sorto sul declivio della collina cd. Anemomylos. Sullo sfondo le due arterie stradali sorte in età medievale (da STUART-REVETT 1794, III.2, tav. I).*

*Figura 49- Pianta della città di Atene redatta da L. Fauvel intorno al 1787. In evidenza il cd. muro Haseki costruito dal Voivoda (da OLIVIER 1801, vol. I)*

*Figura 50 – Pianta di Atene di S. Ittar, redatta nel 1801 (da RIGNANESE 2021, fig. 16).*

*Figura 51 – Veduta dell'Olympieion dalla riva meridionale dell'Ilisso. In primo piano a destra la chiesa di Ag. Photeini. Al centro del dipinto le cateratte dell'Ilisso, identificate con la cd. Kallirrhoe (da DODWELL 1821, 59)*

*Figura 52 – Panoramica di W. Gell del settore meridionale dalla collina dell'Ardetto. 1: abitato a NW dell'Olympieion; 2: nucleo di abitazioni nell'angolo nord-occidentale del santuario di Zeus; 3: strutture a carattere agricolo nel settore sud-orientale del peribolo; 4: letto post-antico dell'Ilisso; 5: isola cd. Vatrachonisi; 6: strada per Agrai passante per l'Arco di Adriano; 7: strada passante per il peribolo dell'Olympieion (da RIGNANESE 2021, fig. 15).*

*Figura 53 – veduta nord-orientale dei quartieri a sud dell'Acropoli dell'architetto danese Chr. Andersen (da BENDTSEN 1993, fig. 67)*

*Figura 54 – Veduta sud-orientale delle rive dell'Ilisso (da STADEMANN 1841, tav. 11)*

*Figura 56 – Estratto della mappa di Atene di E. Curtius e J.A. Kaupert (1878). 1: casa in od. Athanasiou Diakou/Iosiph ton Rogon; 2: ccase nell'angolo sud-ovest dell'Olympieion; 3: case/mulini sulle alture di Agrai; 4: giardini a est dell'Olympieion; 5: il cimitero protestante.*

*Figura 57– Veduta sud-orientale del 1870 dei quartieri dell'Olympieion. Al centro il teatro Paradiseion, sulla sinistra il quartiere abitativo sviluppatosi in prossimità del santuario di Zeus. Sullo sfondo, a destra, il cimitero protestante.*

*Figura 58 – Veduta sud-orientale dei quartieri dell'Olympieion dalla collina cd. Anemomylos (1869)*

*Figura 59 – Panorama del quartiere dell'Olympieion dall'Acropoli (1873)*

*Figura 60 – Veduta aerea dell'area dell'Olympieion nel 1963 (da Papageorgiou-Venetas 1994, fig. 130)*

*Figura 61 – Ricostruzione del paleoalveo dell'Ilisso (da CHIOTIS 2019, fig. 2)*



*Figura 62 – Le divisioni convenzionali dell'area in esame per la localizzazione delle UT*

*Figura 63 – Le divisioni convenzionali dell'area in esame per la localizzazione delle UT nel quadro urbanistico di Atene*

*Figura 1*- Pianta di Atene edita nel 1862. In evidenza la casa con cortile in corrispondenza del lato SW della cd. collina di *Ghe* (da Proust 1862, 50).

*Figura 2* – In evidenza il quartiere a sud dell'*Olympieion* tra il 1874 e il 1881. 1: luogo di rinvenimento dell'altare di Pisistrato il Giovane secondo D. Pirisino; 2: luogo di rinvenimento dei tripodi II.Tr.2-6; 17-18 secondo A. Matthaïou; 3: area di scavo di M. Mitsos (da Curtius – Kaupert 1881, tav. I.1).

*Figura 3* – Sovrapposizione mappa di Curtius-Kaupert 1881, tav. I.1 con foto aerea.

*Figura 4* – Luogo di rinvenimento della ceramica riferibile al *Python*.

*Figura 5* – Area di rinvenimento dei reperti riferibili ad Apollo nell'area dell'*Olympieion*. In rosso l'area indagata da S. Koumanoudis nel 1862.

*Figura 6* – Il tripode rinvenuto al di sopra del muro di tamponamento della postierla di III secolo d.C. (da *ArchDelt* 21, 1966, B', tav. 78γ [PHILIPPAKI]).

*Figura 7* – Distribuzione dei reperti inerenti al *Python* nel distretto II

*Figura 8*– Testo  
dell'iscrizione III.Tr.1  
riportato da F.  
POUQUEVILLE 1827, 67, n.1.

*Figura 11* – Pianta di scavo dell'edificio V.A.4. In  
azzurro i resti della muratura del corpo di fabbrica;  
in arancione la strada V.Hod.3 (elab. da *ArchDelt*  
24, 1969, B', fig. 18 [Alexandri]).



*Figura 10* – Rapporto topografico tra le vie V.HOD.3; 9, la Porta xviii e l'edificio V.A.4. In blu il percorso delle fortificazioni.

*Figura 12* – Area di distribuzione dei manufatti nel distretto V.



*Figura 13* – Area di distribuzione dei manufatti nel comprensorio.

*Figura 14* – Contesti di reimpiego (verde: IV secolo a.C.; rosso: III secolo a.C.; blu: III secolo d.C.; bianco: non. Id. forse età moderna).

*Figura 15-* Anelli di distribuzione dei manufatti, in rapporto al numero di attestazioni, riferibili al *Pythion*. Nr. Reperti a partire dall'anello centrale: 25; 13; 6.

*Figura 16 – Apollo tra Tamiri, Museo e le Muse. Pisside a figure rosse attribuita alla maniera del pittore di Meidias (EAM 19636).*

*Figura 17* – 1: *Musaios*; 2: *Apollo*; 3: *Calliope*; 4: *Polymnia*; 5: *Ourania*; 6: *Sophia*; 7: *Tamiri*; 8: *Tersicore*.  
(elab. da HEINEMANN 2013, fig. 14.6).

*Figura 18* – Frammento di cratere a figure rosse individuato nel pozzo **II.PHR.5** (da *ArchDelt* 29, B', 1973-1974, tav. 45v [LIAGOURAS]).

*Figura 19* – Raffigurazione sulla *Kylix* da Maratona (da *LIMC* VI,2, 389, nr. 41e)

*Figura 20 – Rilievo con Apollo, Pan, Hermes e le Ninfe (inv. nr. EAM 1966 da SVORONOS 1911, tav. 136).*

*Figura 21 – Altare di Apollo (EAM 1730). Dettaglio della raffigurazione (da LIMC II, 2, 202, nr. 219, s.v. Apollon [PALAGIA]).*

*Figura 22- Decreto per Socharos. Palermo (NI 1549); Atene (EM 5415). Da LAWTON 2003, fig. 3.*

*Figura 23* – Rilievo con triade Apollinea con dedica del figlio di *Bakchios* (EAM 1389).

*Figura 24* – Rilievo di *Xenokrateia* dal santuario del Cefiso alla foce del Falero (EAM 2756).

*Figura 25* – Il rilievo con Latona da *Od. Iosiph ton Rogon* 9. Dim. alt. max m 0,58; lungh. max m. 0,71; spess. max. m 0,13 (da ASIMAKOPOULOU-LINTZERI 2017, fig. 1)

*Figura 26* – La replica di età adrianea dell'Apollo cd. Kassel rinvenuta a est dell'Olympieion (EAM 47)

*Figura 27* – Ricostruzione dell'Agalma di Apollo tipo Kassel (da VOGT 2007, fig. 19).

A

*Figura 29* – Diverse ipotesi attributive del frammento a una possibile statua di Apollo.

B

*Figura 28* – Supporto di statua con serpente attorno a un tronco (Inv. nr. Akr. 6510. A: da RHOSOPOULOS 1862, tav. II<sup>a</sup>, nr. 6; B: BROMMER 1963, tavv. 102.1-2).

*Figura 30* – Base marmorea dal Museo Correale di Sorrento (inv. nr. 76). Da JONES ROCCOS 1989, fig. 1.

Figura 31 – Veduta delle pendici meridionali dell'Acropoli dal Teatro di Dioniso (Foto A.): Tratti I-II e della *Pitaide*

Figura 32 – Pendici settentrionali dell'Acropoli. Tratto III della *Pitaide* presso il santuario di Apollo *Hypoakraios* (da Monaco 2010, fig. 8)



Figura 33 – Veduta del percorso della *Pitaide* dalle pendici settentrionali dell'Acropoli (Foto A.)

Figura 34 – Visibilità del tempio di Efesto nel tratto della *Pitaide* passante per l'Agora: tratto IV (Foto A.)

Fig. 35 – Proposta ricostruttiva del percorso urbano della *Pitaiide* in blu il possibile percorso alternativo della processione. In evidenza l'area supposta del *Pythion*. A: tratto della via in *od. Porinou*; B: tratto della via in *od. Diakou* 16-18; I: tratto *Pythion* – Teatro di Dioniso; II: tratto Teatro di Dioniso – Apollo *Hypo Makraïs*; III: tratto Apollo *Hypo Makraïs* – *Agora*; IV: Tratto *Agora* – *Hiera Pyle*



Figura 37 – Rapporti dimensionali del fr. con i *kouroi* del cd. Melos group da sinistra: Delos A4083; Atene EAM 5360; Berlino (SK 1555); Rodi (KONSTATINOPOULOS 1977, nr. 69).

*Figura 39 – Ricostruzione del torso EAM 5360 sulla scorta della restituzione proposta per il frammento di Delo A4098 (rielab. da JOCKEY 1993, fig. 9)*

*Figura 38 – Il confronto del torso EAM 5360 con il frammento di statua equestre da Delo A4098 (rielab. da KOKKOROU-ALEWRAS 2008, Figg. 1a-3b).*

Figura 40 – Frammento di piede sinistro con chitone su alto sandalo (da VLIZOS 2008, fig. 11).

Figura 41- L'altare di Pisistrato il Giovane con l'integrazione del frammento rinvenuto nel 2009 (EM 6787)

Figura 42 – Il settore nord occidentale dell'*Agora* e il rapporto dell'Altare dei Dodici dèi con le acque dell'Eridano (da PAGA 2015, fig. 1).

Figura 43 – La localizzazione della due dediche di Pisistrato il Giovane (Pythion: II.An.3), in relazione ai due fiumi (Eridano e Ilisso) e alla *Hiera Pyle* (rielab. da Chiotis 2011)

A

B

Fig. 44 – La contrapposizione tra la figura di Mousaios (a) e quella di Tamiri (b) nella pisside EAM 19636

Fig. 45 – La dedica di Aristocrate (da SHEAR Jr. 1973a, Fig. 7 dis. Dinsmoor; AMANDRY 1977, fig. 8)

A

B

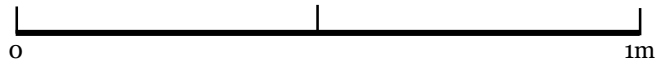


Fig. 46 – **II.Tr.9** (A); Base **II.Tr.7** cd. di *Kedeides* (B) (da ASIMAKOPOULOU – LINTZERI St. – MAKRI A. – SIOUMPARA E.P. 2017, fig. 1 [Sioumpara]; Amandry 1977, fig. 4)

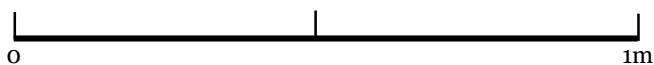


Fig. 47 – Esempi di basi circolari: **II.Tr.5** (A); **II.Tr.6** (B)



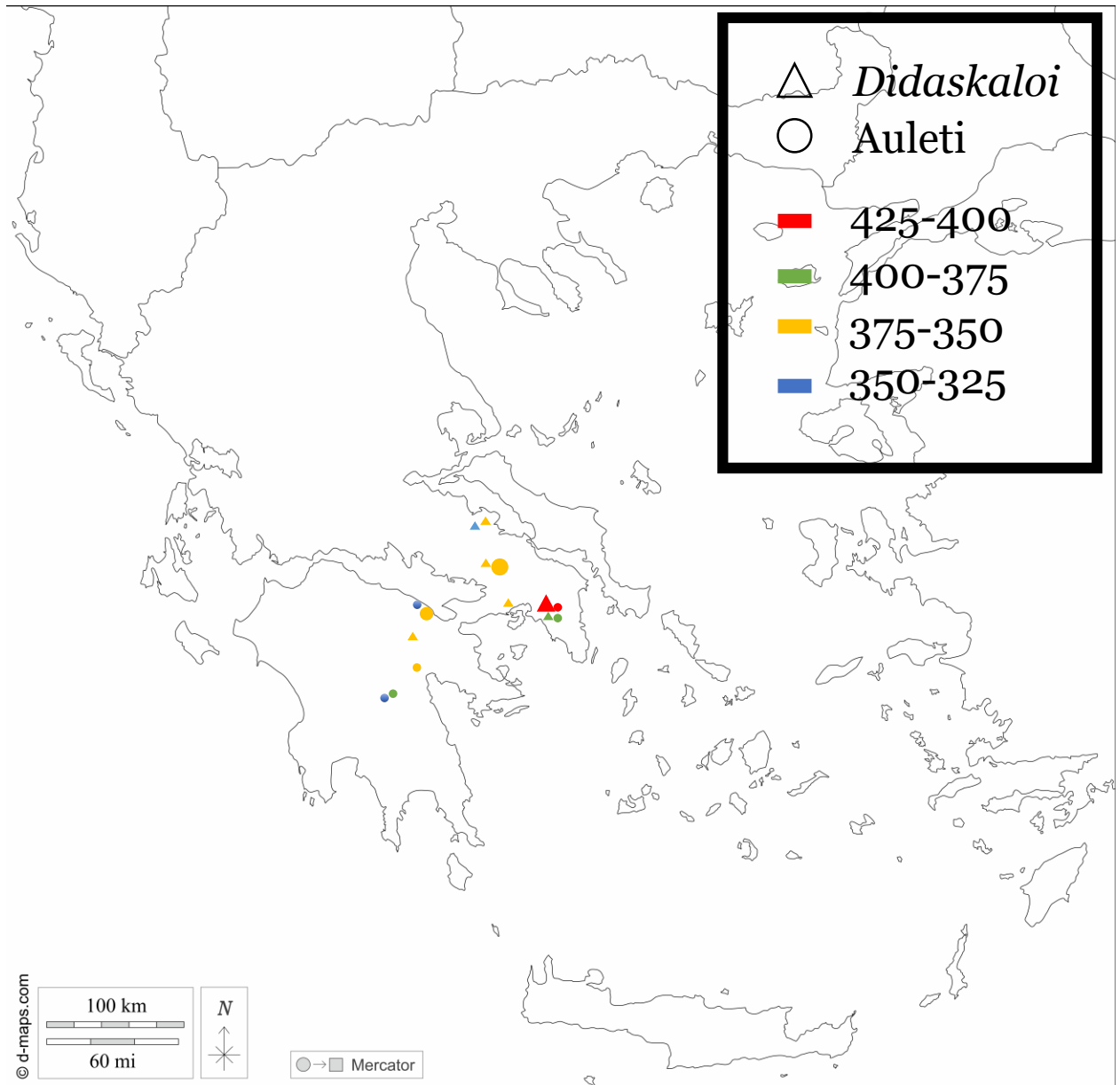


Fig. 48 – Mappa delle provenienze dei *didaskaloi* e degli *auleti* tra la fine del V e il terzo quarto del IV secolo a.C.

**A**

**B**

Fig. 49 – I coronamenti II.Tr.18 (A, foto A. ) e II.Tr.19 (B, da Amandry 1977, figg. 22-23)

A

B

C

D

E

F

Fig. 50 – Le principali forme delle basi dei tripodi attestate nelle raffigurazioni vascolari: A: BM inv. 1910,0615.2 (450-400 a.C.); B: Leuven G36 da *LIMC* II2, tav. 631, s.v. Asklepios (450-400 a.C.); C: Louvre inv. CA 1354 (450-400); D: Boston inv. 10.206 (450-400 a.C.); E: Barelona inv. 4302 (450-400 a.C. Da Ducat-Amandry 1973, fig. 17); F: BM inv. 1867,0508.1058 (475-425 a.C.).

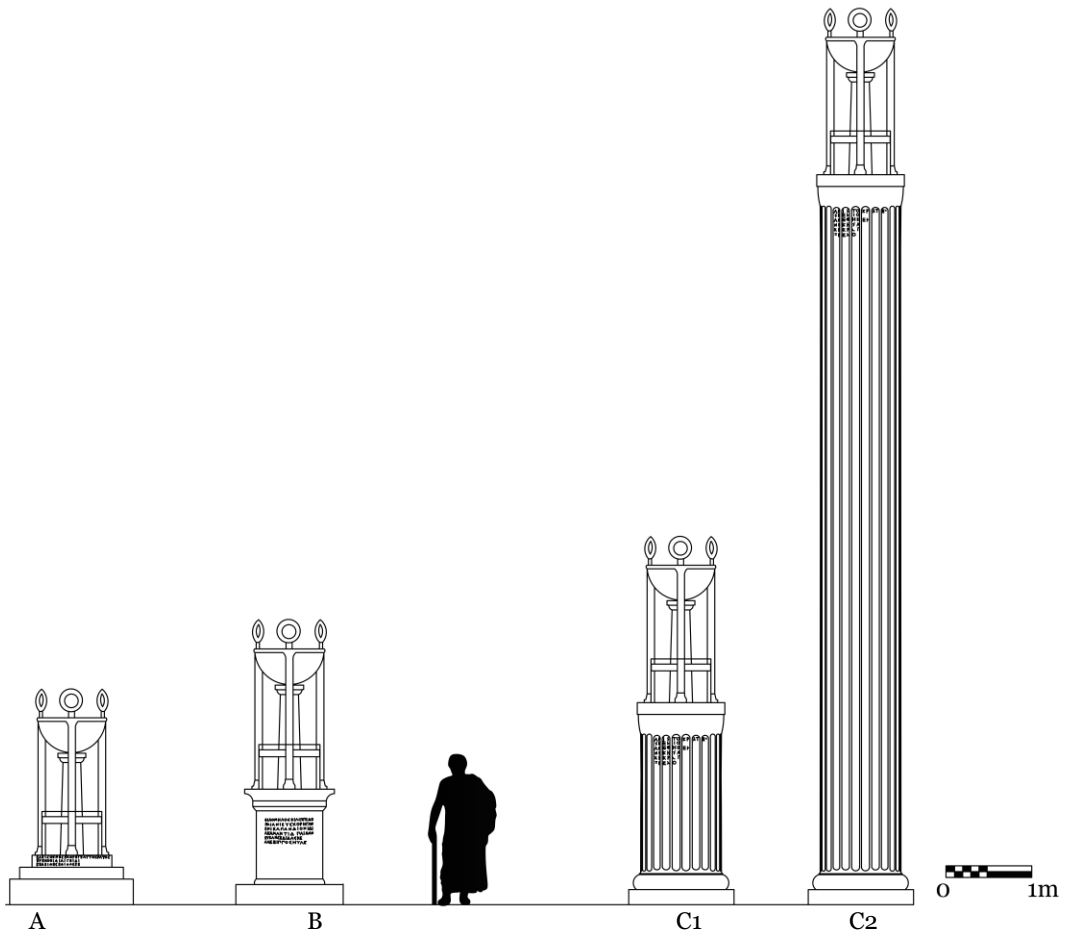


Fig. 51 – Ipotesi ricostruttive delle tre tipologie dei monumenti coregici del *Pythion* in relazione alla posizione del testo A: base quadrangolare; B: Base circolare; C1: su bassa colonna; C2: su alta colonna

A

B

Fig. 52– Le presunte dediche nel *Pythion* dopo la riforma dell'*agonothesia* di fine IV secolo a.C. A: rilievo con sacrificio a seguito di una vittoria (320-300 a.C., Louvre MA756); B: Stele con incisi un elenco di nomi, probabilmente i membri del coro delle due tribù (?) (III secolo a.C. da Wilson 2007, fig. 16).

A

B

C

D

E

Fig. 54 – Luogo di rinvenimento dei reperti riferibili ad Artemide con valenza curatofica e rapporto+tonotopografico tra l'area del Pythion e quella di Artemide Agrotora: I.S.1-4 (statue di fanciulle); I.An.1: dedica di *Philoumene* a Ilizia; I.An.12: inventario di oggetti sacri per una divinità femminile (Artemide?).

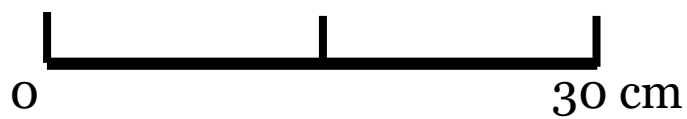


Fig. 55 – Base di statua con dedica ad Apollo (EM 10657: Επιγραφικό Μουσείο/ Epigraphic Museum, Athens.  
Copyright © ΥΠΟΥΡΓΕΙΟ ΠΟΛΙΤΙΣΜΟΥ & ΑΘΛΗΤΙΣΜΟΥ, ΟΡΓΑΝΙΣΜΟΣ ΔΙΑΧΕΙΡΙΣΗΣ ΚΑΙ ΑΝΑΠΤΥΞΗΣ  
ΠΟΛΙΤΙΣΤΙΚΩΝ ΠΟΡΩΝ/ © Hellenic Ministry of Culture and Sports/ Hellenic Organization of Cultural Resources  
Development [H.O.C.RE.D.]).

Fig. 56 – Disegno ricostruttivo della dase di statua con dedica ad Apollo (EM 10657: Επιγραφικό Μουσείο/ Epigraphic Museum, Athens. Copyright © ΥΠΟΥΡΓΕΙΟ ΠΟΛΙΤΙΣΜΟΥ & ΘΡΗΣΚΕΥΜΑΤΩΝ, ΟΡΓΑΝΙΣΜΟΣ ΔΙΑΧΕΙΡΙΣΗΣ ΚΑΙ ΑΝΑΠΤΥΞΗΣ ΠΟΛΙΤΙΣΤΙΚΩΝ ΠΟΡΩΝ/ © Hellenic Ministry of Culture and Sports/ Hellenic Organization of Cultural Resources Development [H.O.C.RE.D.]).



Fig. 57 – Ipotesi ricostruttiva della dedica da parte degli Ateniesi e degli alleati (**II.S.1**)



Fig. 58 – Ipotesi ricostruttiva del basamento di Delfi (metà IV secolo a.C.) di Delfi (SD 523) secondo A. Jacquemin e D. Laroche con gruppo scultoreo raffigurante Apollo e Atene (da Jacquemin – Laroche 2020, fig. 18).

Fig. 59 – La ceramica rinvenuta nelle fondazioni del cd. *gate shaped building* (I.A.12) durante gli scavi di M. Mitsos (da Mitsos 1947, tav. LXVIII nnrr. 4-5-8)

**A**

**B**

**C**

Fig. 60 – Apografi della dedica del sacerdote di Zeus : A: Spon 1679; B: Pococke 1752; C: *CIG* I 491.

Fig. 61 – Il decreto di Senofonte del Sunio negli anni Settanta. Le lettere sembrano più chiaramente leggibili (da Amandry 1976, fig. 22).



Fig. 62 – Decreto di rinnovamento del culto apollineo del 129/8 a.C. (EM 6001: Επιγραφικό Μουσείο/ Epigraphic Museum, Athens. Copyright © ΥΠΟΥΡΓΕΙΟ ΠΟΛΙΤΙΣΜΟΥ & ΑΘΛΗΤΙΣΜΟΥ, ΟΡΓΑΝΙΣΜΟΣ ΔΙΑΧΕΙΡΙΣΗΣ ΚΑΙ ΑΝΑΠΤΥΞΗΣ ΠΟΛΙΤΙΣΤΙΚΩΝ ΠΟΡΩΝ/ © Hellenic Ministry of Culture and Sports/ Hellenic Organization of Cultural Resources Development [H.O.C.R.E.D.]).

Fig. 63 – Decreto di rinnovamento del culto apollineo del 129/8 a.C. Dettaglio ll. 27; 37; 53-54. (EM 6001: Επιγραφικό Μουσείο/ Epigraphic Museum, Athens. Copyright © ΥΠΟΥΡΓΕΙΟ ΠΟΛΙΤΙΣΜΟΥ & ΑΘΛΗΤΙΣΜΟΥ, ΟΡΓΑΝΙΣΜΟΣ ΔΙΑΧΕΙΡΙΣΗΣ ΚΑΙ ΑΝΑΠΤΥΞΗΣ ΠΟΛΙΤΙΣΤΙΚΩΝ ΠΟΡΩΝ/ © Hellenic Ministry of Culture and Sports/ Hellenic Organization of Cultural Resources Development [H.O.C.R.E.D.]).

Fig. 64 – Settore I.1. In evidenza la possibile localizzazione del *Serpaeion* e del tempio di Ilizia. 1: *Aglaurion*; 2: peristilio di Ag. *Aikaterinis* (I.Dem.5); 3: edificio ellenistico (I.Dem.3).

Fig. 65 – Le fasi edilizie del tempio di Zeus. In azzurro chiaro la fase alto-arcaica e la ricostruzione del primo tempio secondo R. Tölle – Kastenbein (rielab. A da Tölle – Kastenbein 1994, tav. IV; Z.1).

Fig. 66 – Le fasi edilizie del tempio di Zeus. In azzurro scuro la fase tardo arcaica e la ricostruzione del tempio pisistratide secondo R. Tölle – Kastenbein (rielab. A da Tölle – Kastenbein 1994, tav. V; Z.1).

A

B

Fig. 67 – A: La fase adrianea del santuario con indicazione degli scavi tra Ottocento e Novecento. 1: 1861; 2: 1887-1898; 3: 1900; 4: 1911. B: Veduta occidentale del peribolo e del tempio (rielab. da Lagogianni – Papi 2018, 123)



Fig. 68 – Il tempio dorico a sud del *Plateau* dell'*Olympieion* (da Travlos 1971 fig. 107)

A

B

Fig. 69 – Gli elementi architettonici del tempio dorico. A: in *poros*; B: Marmo pario (da Travlos 1971 figg. 108-109)

Fig. 70 – In evidenza il tempio dorico di età classica e il muro in cui sono reimpiegati i capitelli dorici e i rocchi delle colonne non finiti del tempio (da Travlos 1971, fig. 111).

A

B

C

Fig. 71 – Il confronto delle piante del tempio classico dell’Ilisso (A) con l’*Hephaisteion* (B) e il cd. *Grand Temple* di Delo (C) (da Dinsmoor 1941, fig. 34; rielab. A. da Étienne 2018 tav. 75, fig. 2).

Fig. 712– Confronto delle fondazioni del lato occidentale del tempio dell’Ilisso con quelle dell’*Hephaisteion* (da Travlos 1971, fig. 108; Dinsmoor 1941, fig. 12).

Fig. 71 – In evidenza i due interventi di età adrianea nel settore. A: il peristilio pertinente al *Python*; B: il *temenos* del tempietto dorico

Fig. 72 – Ricostruzione del peristilio meridionale (da TRAVLOS 1971, fig. 548)

Fig. 73 –II settore I prima degli interventi adrianei

Fig. 74 – Rapporto della strada della Pitaide II.Hod.9 con le strutture del peristilio adrianeo e con il tempio classico

Fig. 75– Veduta del tempio dall'angolo NW. Sullo sfondo la chiesa di Ag. Photeini (da TRAVLOS 1971, fig. 439).

Fig. 76 – L'area sacra nell'angolo *SE* del settore della terrazza meridionale. A: tempietto dorico; B: recinto ipetro; C: Basamento quadrangolare; D: altare; E: pozzo geometrico; F: *ergasterion* bizantino (da TRAVLOS 1971, fig. 438)

Fig. 77– Pianta del tempietto dorico (da TRAVLOS 1971, fig. 440).



Fig. 77– L'area meridionale del *Plateau* dell'*Olympieion*. A: la struttura di età geometrica (I.Dem.6); B: il pozzo forse di età tardo- arcaica (I.Phr.1). (rielab. da Doronzio 2018, 224, fig. 11).

Fig. 79 - In evidenza la supposta area del temenos di Codro Neleo e Basile all'interno del settore II. 1: luogo di rinvenimento dell'iscrizione relativa alle proprietà del santuario; 2-3 *horoi* del santuario.

Fig. 80 – In rosso la grotta di Pan (III.Hie.1) e le canalizzazioni di età classica. A-B: Cisterne tardo romane (III.Dex.1).

Fig. 81 – Il rilievo con Pan eseguito al centro della parete settentrionale della grotta.

Fig. 82 – Statuetta di Pan (**I.S.16**) rinvenuta nei pressi dell'*Olympieion* (EAM 683).

Fig. 83 - Dedicà di *Kratesion* (**I.An.10**; da VLACHOGIANNI-MATTHAIYOU 2014-2019, fig. 5; cfr. SALTA 2019, fig. 9)

Fig. 84 - Rilievo votivo (**I.An.11**) rinvenuto nei pressi del muro Valeriano (da *ArchDelt* 56-59, 2001-2004, B', fig. 80 [KYRIAKOU])

Fig. 85 – **III.An. 1.** Dedicà di *Aristomenes* a *Zeus Meilichios* (EAM 3329)

Fig. 85 – **III.An. 2.** Dedicà ad Acheloo (EAM 1778)

Fig. 86 – **III.An.4.** Il rilievo con dedicà a *Zeus Meilichios* (da SALTA 2019, fig. 11)

Fig. 87. **IV An.2.** Rilievo con Zeus (da SVORONOS 1908, tav. 130)

Fig. 88- **III.S.1.** La scultura rinvenuta nella cisterna B (da SALTA 2019, fig.14 a).

Fig. 89 – **I.An.13.** Rilievo con Eracle con valenze soteriche (EAM 12126, da SALTA 2019, fig. 15)

Fig. 90- **I.An. 9.** Rilievo di *Hagnousios* lo ierofante (da LEVENTI 2015, fig. 6).

Fig. 91 – **I.S.11.** Statua femminile *Persephone* o Afrodite (EM 4762)

Fig. 92- **I.S. 15.** Statua di Eubuleo (?), rinvenuta nell'angolo NW dell'*Olympieion* (da THREPSIADIS 1973, tav. MZ, γ)

Fig. 93 – Distribuzione dei manufatti riferibili al culto di Zeus Melichios (in bianco) e quelli attribuibili al culto demetriaco (in rosso).

Fig. 94 - Pianta e prospetto ricostruttivi del tempio ionico presso l'Ilisso. A: area del tempio ionico; B: muro di terrazzamento; C: necropoli; D: altare; E: abside (da TRAVLOS 1971, fig. 156).

Fig. 95 – L'area nei pressi del tempio ionico (IV.Hie.1); III.Hie.1: il tempio di Pan; I.Hie.7: il tempio classico.



Fig. 96 - Il fregio del tempio ionico presso l'Ilisso. A: cd. gruppo statico; B: cd. gruppo dinamico (da BESCHI 2002a; D'AGOSTINO 2015; PALAGIA 2005)

Fig. 97 - Area di scavo e pianta dei rinvenimenti sulla sommità della collina *Petrites* (IV.Hie.6; SVORONOS 1916-1917, figg. 3-4).

Fig. 98 - Pianta del distretto a sud dell'*Olympieion*. In evidenza i tagli nella roccia nei pressi del mulino a vento sulla collina di *Petrites* (da CURTIUS-KAUPERT 1878, tav. X.3).

Fig. 99 - Pianta del distretto a sud dell'*Olympieion*. Il santuario sulla sommità della collina di *Petrites* è indicato con il nr. 150 (da TRAVLOS 1971, fig. 154)

Fig. 100 –Rilievo (**VI.An.1**) con dedica di *Panias* ad Eracle (da ROBINSON 1948, tav. 34, nr. 1)

Fig. 101- Decreto con rilievo della Tribù *Antiochis* (da KAROUZOU 1923, fig. 2)

Fig. 102 – I santuari nella Valle dell'Ilisso tra V e IV secolo a. C. 1: Santuario di Codro, Neleo e Basile; 2: Tempio di età classica e area del *Pythion*; 3: *Olympieion*; 4: pendici meridionali del *Plateau dell'Olympieion*; 5: Ipotetica area del *Delphinion*; 6: Ipotetica area del santuario di Dioniso nelle Paludi; 7: Area del Cinosarge; 8: Tempio Ionico e area della collina Petrites

Fig. 103 - Indicazione della sepoltura **I.NEK.1** (da PANTELIDOU 1975, 142, fig. 2)

Fig. 104 - Il settore a N dell'*Olympieion* con indicazione delle tombe di età Geometrica (da VANDERPOOL 1960, fig. 1)

Fig. 105 - Area meridionale dell'*Olympieion*. 2: tomba a camera della fine dell'AE; 3-4: area di distribuzione di reperti di età SM-G (da PRIVITERA 2013, fig. 31).

Fig. 106 – Area Meridionale dell'*Olympieion* (**I.Nek.4**). Distribuzione dei settori funerari individuati nel settore. In blu reperti di età SM; in rosso tombe di età geometrica; in verde il pozzo I.Phr.2 contenente ceramica di fine VII-inizi VI secolo a.C. (rielab. A da Dimitriadou 2019, fig. 53).

Fig. 107 –In rosso le tombe di età SM e tardo classica; in verde l'area del *temenos* di Codro Neleo e Basile (II.Hie.1).

A

B

Fig. 108 – A: *Lekythos* SM dalla tomba I; B: Anfore Panatenaiche dalla tomba III (da *ArchDelt* 25, 1970, B', tav. 62 α- γ [ALEXANDRI])

Fig. 109 – Le evidenze funerarie rinvenute in *od. Iosiph ton Rogon 6*. A: la tomba di VI secolo a.C. e il leone funerario (II.Nek.3; 6); B: il luogo di rinvenimento della statua del loricato (II.S.4). Rielab. A. da *ArchDelt 29*, 1973-1974, B', 88, fig. 4 [ALEXANDRI].

A

B

Fig. 110 – A: il leone databile alla metà del VI secolo a.C.; B: la statua di loricato di IV secolo a.C. (da *ArchDelt 29*, 1973-1974, B', tav. 75 α-γ [ALEXANDRI])



Fig. 111 – In evidenza la sepoltura datata al periodo imperiale (da *ArchDelt* 34, 1979, B', 13 [KARAGIORGA – STATHAKOPOULOU])

A

B

C

D

Fig. 112 – Stelai funerarie rinvenute nelle cisterne A-B (III.Dex.1). A: **III.St.1** (da Kaltsas 2001, nr. 302); B: **III.St. 2** (da Conze 1900, nr. 1267); C: **III.St.3** (da Conze 1900, tav. 407); D: **III.St.4** (da Conze 1911, nr. 2003).

Fig. 113- I reperti dalla tomba 1 di *od. Diakou e Anapauseos* (da *ArchDelt* 18, 1963, B', tav. 39 β).

Fig. 114 – Il corredo della tomba **IV.Nek.3** (da *ArchDelt* 18, 1963, B', tav. 38 α-δ)

Fig. 115 – Il *krateriskos* del corredo della tomba **IV.Nek.1** (*ArchDelt* 29, 1973-1974, B', tav. 73 e [ALEXANDRI])

Fig. 116 – L'area funeraria **IV.Nek.4**. In blu le tombe di III secolo a.C.; in verde la sepoltura di età imperiale; in rosso le sepolture di età romana (rielab. A. da *ArchDelt* 64, 2009, B', 77-79 fig. 5 [ALEXAKI – MANTZOUKA])

Fig. 117- La distribuzione delle evidenze funerarie nel settore IV

Fig. 118 – In evidenza le tombe di IV secolo a.C. nei pressi delle fortificazioni (da *ArchDelt* 24, 1969, B', fig. 4 [ALEXANDRI])

A

B

Fig. 119 - A: Stele di Sostratos (**V.St.1** da *ArchDelt* 25, 1970, B', tav. 61 α [ALEXANDRI]); B: *Trapeza* funeraria di *Euktimenos* (**V.St.2**, da THREPSIADIS 1971, tav. I β)

Fig. 120 – La necropoli del Cinosarge **VI.Nek.1** nei pressi del peristilio adrianeo (VI.Dem.1). In blu la fase tardo-classica/ellenistica; in rosso la fase di età imperiale; in verde le sepolture di età tardo-romana/bizantina (rielab. A. da *ArchDelt* 56-59, 2001-2004, B', 206-208, fig. 7 [Eliopoulos]).

Fig. 121 – Stelai funerarie reimpiegate nel peristilio di II secolo d.C. *ArchDelt* 25, 1970, B', Tav. 53β; 60 γ [ALEXANDRI]

Fig. 122 - Capitello ionico del British Museum. Inv. nr. 1843, 0531.23 e la localizzazione del *naiskos* funerario al di sotto della chiesa di *Ag. Marina* (da Rignanese 2021, figg. 1; 23).

Fig. 123 – Area di distribuzione dei settori funerari tra VIII secolo a.C. e VI secolo d.C. 1: I.Nek.1-2; 2: I.Nek.2-3; 3: II.Nek.3; 4: V.Nek.1; 5: IV.Nek.1-2;4; 6: VI.Nek.1



Fig. 124- Resti della Porta IX (da DAUX 1960, fig. 3).

Fig. 125- In evidenza la Porta IX e il fossato antistante. Pianta del settore Settentrionale dell'*Olympieion* (da DAUX 1960, fig. 1, dis. I.Travlos)

Fig. 126 – Tratto sud-Orientale della cinta di III secolo d.C. visibile agli inizi dell'Ottocento. Estratto dalla mappa di L.Fauvel 1800

Fig. 127 – In blu il tratto delle fortificazioni di III secolo d.C. Evidenziato in rosso la necropoli della seconda metà del III secolo d.C.

Fig. 128 - Pianta e sezione dello scavo di od. Ath. Diakou 28-34 (da *ArchDelt* 23, 1968, B', fig. 15 [ALEXANDRI])

Fig. 129- Pianta di scavo di od. *Iosiph Ton Rogon* 8 con le fasi delle fortificazioni (da *ArchDelt* 21, 1966, B', fig. 11 [PHILIPPAKI]). In rosso la fase di IV secolo a.C.; in verde quella di fine IV secolo a.C.; in blu la tamponatura della postierla (cd. Porta xii) di III secolo d.C.

Fig. 130 - *Leoph. Syggrou* 23 (V.T.5). Veduta Orientale dello scavo (da *ArchDelt* 33, 1978, B', tav. 11γ [KARAGIORGA – STATHAKOPOULOU])

Fig. 131 – V.T.8. Pianta di scavo di *leoph. Syggrou*. B (rosso): fase Geometrica; Γ (verde): la fase ellenistica; Δ (blu) la fase temistoclea (da *ArchDelt* 20, 1965, B', fig. 30 [STAVROPOULLOS])

Fig. 132 - Il tratto della cinta muraria di *od. Vourvachi* 5-9. A (blu): fortificazione di V (?) e IV secolo a.C.; B (rosso): *proteichisma* ellenistico; C (giallo): muro di contenimento di V (?) e IV secolo a.C.; D (verde): fase di III secolo d.C. (da *ArchDelt* 27, 1972, B', fig. 14 [ALEXANDRI])

Fig. 133 – V.T.4. Pianta di scavo: A: cisterna bizantina; B-Γ-Δ: fondazioni della stoa di età imperiale (**V.Dem.1**) riutilizzati nella cortina di III secolo d.C. (da THREPSIADIS 1971, fig. 5)

Fig.134 – Pianta di scavo di *od. Koryzi* 6 (da *ArchDelt* 23, 1968, B', fig. 26 [ALEXANDRI]). A: *proteichisma*; B: torre di VI secolo d.C.

Fig. 135 - Pianta e sezione dell'area di scavo di *od. Negri e leoph. Syggrou* (da *ArchDelt* 18, 1963, B', fig.3)

Fig. 136 - Pianta di scavo di *od. od. Donta e leoph. Syggrou* (da *ArchDelt* 27, 1972, B', fig. 14 [ALEXANDRI])

Fig. 137 – Ipotesi ricostruttiva in tratteggio del percorso della cinta muraria in relazione all'area del *Pythion* (A). In bianco le fasi tennistoclee; in rosso le fasi di IV secolo a.C.

Fig. 138 – Il quartiere abitativo a nord dell'*Olympieion*. Δ – E le case di età classica e imperiale (da Daux 1960, Fig.1

Fig. 139 – Sovrapposizione delle due piante di scavo dell'abitazione in *od. Dion. Areopagitou – od. Makri* 1 (I.A.10). In rosso le fasi tardo-classiche; in blu quelle ellenistiche; in giallo la fase romana; in verde la fase bizantina (elab. A. da *ArchDelt* 38, 1983 (1989), B', fig. 3 [ZAREIPOULOU]; *ArchDelt* 60, 2005, B', figg. 16-17 [BOUGIA])



Fig. 140 – Il settore abitativo in od. Tsiraiou 4 (I.A.14 da *ArchDelt* 47, 1992, B', fig. 2 [ORFANO])

Fig. 141 – In evidenza la casa tardoromana I.A.15 (da TRAVLOS 1971, fig. 380)

Fig. 142 – In evidenza le strutture di incerta funzione, intercettate al di sotto del peristilio adrianeo II.Hie.5. (da Travlos 1971, fig. 160)

Fig. 143 – L'edificio II.A.1. In blu le fasi ellenistiche; in rosso quelle romane; in verde l'edificio bizantino (elab. A. da *ArchDelt* 25, 1970, B', Fig. 16 [Alexandri])

Fig. 144 – L'area II e i settori abitativi individuati. In tratteggio la presunta area del temenos di Codro Neleo e Basile (**II.Hie.1**). In blu gli edifici ellenistici; in rosso quelli di età tardo romana (elab. A. da Charami 2013, Fig. 15).

Fig. 145 – Le strutture in *od. Iosiph ton Rogon* 8 (II.A.7). In evidenza la casa di età ellenistica (da *ArchDelt* 60, 2005, B', fig. 6 [Kokkoliou]).

Fig. 146 – In evidenza l'oikos di età ellenistica in *od. Syggrou* 5 (II.A.8). Da *ArchDelt* 34, 1979, B', fig.2 [KARAGIORGA – STATHAKOPOULOU])

Fig. 147- L'edificio II.A.6. In rosso le strutture di età Geometrica; in blu quelle ellenistiche; in verde le murature della domus romana (elab.A. da *ArchDelt* 33, 1978, B', 15, fig. 3 [KARGHIORGA-STAKATHOPOULOU]).

Fig. 148 – In evidenza i resti della casa tardo romana in corrispondenza di od. Koutsidimou Gianni 3 (IV.A.5). Elab. A. Da *ArchDelt* 64, 2009, B', Fig. 5 [Alexaki-Mantzouka].

A

B

Fig. 149 – A: Prospetto degli affreschi della parete dell'oikos IV.A.4.; B: Pianta dell'edificio (da *ArchDelt* 25, 1970, B', 49, fig. 7 [ALEXANDRI])

Fig. 150 – In evidenza l'edificio IV.A.7 (elab. A. da *ArchDelt* 27, 1972, B', Fig. 6 [Alexandri])

Fig. 151 - Pianta di scavo di *od. Iosif ton Rogon* 15-17. Evidenziato in blu l'edificio V.A.4 (da *ArchDelt* 24, 1969, B', fig. 18 [ALEXANDRI])

Fig. 152 – Pianta di scavo dell'edificio di età ellenistica V.A.5 di *od. S. Donta* 1 (da THREPSIADIS 1971, fig. 4)

Fig. 153 - Pianta di scavo del settore di *od. Vourvachi* e *Syggrou*. In evidenza l'edificio V.A.7 (da *ArchDelt* 27, 1972, B', fig. 13 [ALEXANDRI])

Fig. 154 - La *domus* V.A.6 di età imperiale lungo la via del Falero. In evidenza l'area di culto di Cibele (elab. A. da Bougia 2008, Fig. 2).



Fig. 155 - Distribuzione dei settori abitativi nel comprensorio tra V secolo a.C. e IV secolo d.C.

Fig. 156- Le vie In blu la via di V secolo a.C. (I.Hod.11); in verde quella di età imperiale (I.Hod.1) elab. A. da *ArchDelt* 56-59, 2001-2004 (2010), B', Fig. 15 [KYRIAKOU].

Fig. 157- In evidenza il muro di *Analemma* dell'arteria N-S I.Hod.4 in leoph. Syggrou 6 (elab. A. da *ArchDelt* 34, 1979 (1986), B', 13, fig. 1 [KARAGHIORGA – STAKATHOPOULOU])

Fig. 158- In evidenza il secondo tratto dell'arteria N-S (I.Hod.2) in leoph. Syggrou 10 (elab. A. da *ArchDelt* 28, 1973 (1977), B', 43, fig. 13 [ALEXANDRI])

Fig. 159- Pianta dello scavo di *od. Tziraion* 4. I numeri 2a e 4 sono riferibili ai muri di sostruzione dell'asse viario (da THREPSIADIS 1971, fig. 6)

Fig. 160- Tratto della via dei Tripodi in corrispondenza del monumento coregico di Lisicrate (Foto A.)

Fig. 161 – La via dei tripodi in prossimità del monumento coregico di Lisicrate (da TRAVLOS 1971, fig.710).

Fig. 162 – In evidenza il tratto stradale I.Hod.12 (Foto A.)

Fig. 163 – In blu la strada I.Hod. 12; in rosso l'edificio ellenistico oblitterato dalla strada; in verde la *domus* I.A.15 (elab. A. da *ArchDelt* 56-9, 2001-4, 279, fig. 75 [KYRIAKOU])

Fig. 164 – Il complesso termale relativo alla *domus* romana di età imperiale (II.A.1) in od. Porinou 3-5. In evidenza il tratto della strada II.Hod.9 (elab. A. da Charami 2013, Fig.2)

Fig. 165 – In evidenza il tratto della via II.Hod.8 interpretato come la via per il Falero ( elab. A. da *ArchDelt* 55, 2000, B', Fig. 8 [Eleftheratou- Saraga].

Fig. 166- Tratto della strada **V.Hod.9** in corrispondenza del *temenos* di Codro Neleo e Basile (da *ArchDelt* 20, 1965, B', fig. 18 [STAUROPOULOS]).

Fig. 167- Il tratto meridionale della strada V.Hod.9, intercettato in *od. Vourvachi* 1 (elab. A. da *ArchDelt* 27, 1972, B', Fig. 13 [Alexandri]).

Fig. 168- In evidenza l'area sacra del *Pythion* e il suo rapporto con gli assi stradali nel settore.



Fig. 169 – Il colonnato interno. Il sistema di chiusura cd. *Dryphaktos* (da TRAVLOS 1974, tav. 108b)

Fig. 170 – Ricostruzione in pianta del peristilio (elab. A. da TRAVLOS 1974, fig. 2)

Fig. 171 – Pianta di scavo dell'edificio pubblico in *od. Lysikratous*. Rosso: V-IV secolo a.C.; blu: IV-III secolo a.C.; Verde: III-I secolo a.C. (elab. A. da THREPSIADIS 1973, fig. 6)

Fig. 172– Veduta dei resti delle strutture dell'edificio tripartito da sud. In evidenza il mosaico a ciottoli di età ellenistica (Foto A.)

Fig. 173 – Pianta ricostruttiva dell'edificio tripartito I.Dem.7 (elab. A. da TRAVLOS 1971, fig. 113).

Fig. 174 – Panoramica dei resti del peristilio di pl. Hag. Aikaterinis (I.Dem.5).

Fig. 175– Pianta ricostruttiva del peristilio di *Ag. Aikaterini*. In rosso gli elementi *in situ* (da RIGNANESE 2018, 116)

Fig. 176 – Pianta del settore termale a N dell'*Olympeion* (da D'AMICO 2011, fig. 250)

Fig. 177 – La struttura di età geometrica (**I.DEM.6**) a est del tempio di età classica (elab. A. da DORONZIO 2018, 224, fig. 11)

Fig. 178 – In evidenza la struttura di età geometrica (**I.DEM.6**)

Fig. 179 – Corpo di fabbrica settentrionale con quattro vani (da *ArchDelt* 29, 1973-1974, B', fig. 2 [LIAGOURAS])

Fig. 180 – Il cortile occidentale con IV.Ag.7 (da *ArchDelt* 29, 1973-1974, B', fig. 3 [LIAGOURAS])

Fig. 181 – Il complesso termale di età romana (da *ArchDelt* 55, 2000, B', fig. 8 [ELIOPOULOS])

Fig. 182 – Ricostruzione dell'edificio pubblico IV.Dem.1: 1: settore termale; 2: vani settentrionali; 3: settore orientale; 4: muro meridionale

Fig. 183 – I principali edifici pubblici rinvenuti nel comprensorio della Valle dell'Ilisso



Fig. 184 – Calcolo dello spazio minimo per la coltivazione di 200 ulivi con un'unità minima di 3x3 m secondo la distanza soloniana

Fig. 185 – Il settore meridionale dell'Olympieion. In evidenza le officine bronzistiche (I.Erg.2) e il sistema idrico individuato nel settore

Fig. 185 – Pianta di scavo di *leoph. Syggrou* 6. Evidenziate le strutture produttive tardo-imperiali (da *ArchDelt* 34, 1979, B', fig.1 [KARAGIORGA-STATHAKOPOULOU])

Fig. 186 – Pianta e sezione dello scavo di *leoph. Syggrou* 7 (da *ArchDelt* 29, 1973-1974, fig. 15 [LIAGOURAS])

Fig. 187 – I settori produttivi della valle dell'Ilisso

**Fig. 1 – Evidenze archeologiche nell'area tra VIII e VII secolo a.C.**

Fig. 2 – Evidenze archeologiche nell'area tra la seconda metà e la fine del VI secolo a.C. In grigio la possibile localizzazione del *Python*

Fig. 3 – Il distretto meridionale dell'Acropoli nel V secolo a.C. In evidenza la supposta area di localizzazione del *Pythion*

Fig. 4 – Evidenze archeologiche tra IV e III secolo a.C. 1: II.Tr.1; II.Ps.1; 2: I.An.10-12; 3: II.S.1-2, II.Tr.2, 18; II.An.3; 3: II.Tr.18-19; 4: II.Tr.3-6, 17; 5: II.Tr.13-15; 6: V.Tr.1-11; 7: V.Tr.12; 8: I.An.1, I.S.1-4; 9: III.Ps.1; 10; I.Ps.1; 11: II.Ps.2

Fig. 5 – Il distretto meridionale dell'Acropoli nel II-I secolo a.C. In evidenza la supposta area di localizzazione del *Pythion*. A: edificio tardo ellenistico n. id.



Fig. 6– Il distretto meridionale dell’Acropoli tra I-II secolo d.C. In evidenza la supposta localizzazione del *Pythion*.

Fig. 7 – Il distretto meridionale dell'Acropoli tra III e IV secolo d.C. A: cisterne e pozzi tardo romani; B: necropoli di III secolo d.C.